

SOĞUK PLAZMA İÇİNDE DÜZLEMSEL DALGALARIN BİR EMPEDANS YARIM DÜZLEMDEN KIRINIMI

Şule YENER¹

A.Hamit SERBEST²

Çukurova Üniversitesi, Müh-Mimarlık Fakültesi, Elektrik-Elektronik Müh. Bölümü,
01330, Balcalı, ADANA

¹e-posta: syener@mail.cu.edu.tr

²e-posta: serbest@mail.cu.edu.tr

ÖZET

Bu çalışmada soğuk plazma içindedeki bir empedans yarımdüzlemden düzlemsel dalgaların kırınım problemi incelenmiştir. Kanonik yapıdadır bu sınırdeğer problemi Fourier dönüştürme ile formüle edilmiş ve çikan matris Wiener-Hopf denklemi Daniele-Khrapkov yöntemiyle faktörize edilerek çözüm kapalı biçimde elde edilmiştir. Ancak, işletme frekansının ω_c 'ye (cyclotron frekansı) göre çok büyük, ω_p (plazma frekansı) ile ise aynı mertebede alınamasyyla, veya DC manyetik alan vektörünün sıfır kabul edilmesiyle, denklemde bastırılmıştır. Alan integrallerinin asimptotik hesaplanması yüksek frekans kırınımı katsayılarını verir.

Anahtar Kelimeler : Soğuk plazma, iyonosfer, empedans yarımdüzlemleri, Wiener-Hopf yöntemi, semer noktası yöntemi.

1.GİRİŞ

Atmosferin üst katmanı olan iyonosferde gaz parçacıkları iyonlaşarak serbest elektronlar ile pozitif iyonları içeren plazmayı oluştururlar. Serbest elektronların varlığı, iyonosferin yüksek-frekans dalgalarının yansımmasını ve böylece kısa dalga radyo haberleşmesinin mümkün olmasını sağlar.

Elektromanyetik dalgalar plazma içinde bir dielektrik ortam içinde yayıldıkları şekilde yayılırlar. Iyonosferde elektron ve iyonlar elektromanyetik dalganın alanlarına ek olarak bir de yerkürenin manyetik alanından da etkilenirler. Bu da, yükli parçacıkların dairesel veya spiral yollarda hareket etmesine sebep olur. Böylece, Maxwell denklemleri, hareket denklemleriyle birleştirilerek bütün fizikalik etkileri içeren yeni dielektrik sabitinin bulunduğu yeni Maxwell denklemleri elde edilir. Yerkürenin DC manyetik alanının varlığı, plazmanın anizotrop olmasına neden olur. Iyonosferdeki elektron gazının ıslaklığından fakat elektronların hareketi elektron gazının basınç değişimlerinden de etkilendir. Anizotrop plazmanın karakteristğini inceleyen magnetoiyonik teori, genellikle küçük olasılık sonlu ısı ve basınç değişimlerinin etkisini ihmal eder ve böylece 'soğuk plazma' dan söz edilir. Soğuk plazma için dielektrik sabiti tanımları aşağıdaki şekilde tamamlanmıştır [1]

$$\hat{\epsilon} = \begin{bmatrix} \epsilon_1 & -i\epsilon_2 & 0 \\ i\epsilon_2 & \epsilon_1 & 0 \\ 0 & 0 & \epsilon_3 \end{bmatrix}. \quad (1)$$

Burada,

$$\epsilon_1 = 1 - \left(\frac{\omega_p}{\omega} \right)^2 \left[1 - \left(\frac{\omega_c}{\omega} \right)^2 \right]^{-1} \quad (2)$$

$$\epsilon_2 = \left(\frac{\omega_p}{\omega} \right)^2 \left[\frac{\omega}{\omega_c} - \frac{\omega_c}{\omega} \right]^{-1} \quad (3)$$

$$\epsilon_3 = 1 - \left(\frac{\omega_p}{\omega} \right)^2 \quad (4)$$

şeklinde tanımlanmıştır. Plazma frekansının ifadesi $\omega_p = (N_e e^2 / m \epsilon_0)^{1/2}$ biçimindedir. N_e , birim hacimdeki serbest elektronların sayısı, e ve m sırasıyla elektronun yükseli ve kütlesidir. Dairesel dönmeye (cyclotron) frekansı ise DC manyetik alanına dik düzlemede dairesel hareket yapan elektronun frekansıdır ve $\omega_c = |e| \mu_0 H_{dc} / m$ ile ifade edilir. Burada, H_{dc} DC manyetik alan vektörünün büyüklüğü, ϵ_0 ve μ_0 , sırasıyla boşluğun dielektrik sabiti ve manyetik geçirgenliğidir.

2.PROBLEMIN FORMÜLASYONU

Empedans yarımdüzlemleri, $y = 0$ ve $x \in (-\infty, 0)$ düzleminde yerleştirilmiştir. Gelen alan ifadesi

$$H^i = e_i \exp[-ik(x \cos \phi_0 + y \sin \phi_0)] \quad (5)$$

şeklinde verilmiştir. Manyetik alanının büyüklüğü 1 A/m olup ϕ_0 , x -eksenine göre geliş açısıdır. Zamanla bağlılık $\exp(-i\omega t)$ olarak alınmıştır.

Plazma için Maxwell denklemleri kullanılarak, elektrik alan vektörü bileşenlerinin H_r cinsinden ifadeleri

$$E_x = \frac{i\epsilon_1}{\omega\epsilon_0(\epsilon_1^2 - \epsilon_2^2)} \frac{\partial H_z}{\partial y} + \frac{\epsilon_2}{\omega\epsilon_0(\epsilon_1^2 - \epsilon_2^2)} \frac{\partial H_z}{\partial x} \quad (6)$$

ve

$$E_y = \frac{\epsilon_2}{\omega\epsilon_0(\epsilon_1^2 - \epsilon_2^2)} \frac{\partial H_z}{\partial y} - \frac{i\epsilon_1}{\omega\epsilon_0(\epsilon_1^2 - \epsilon_2^2)} \frac{\partial H_z}{\partial x} \quad (7)$$

olarak bulunur. Yine, H_z için

$$\frac{\partial^2 H_z}{\partial x^2} + \frac{\partial^2 H_z}{\partial y^2} + \omega^2 \epsilon_0 \mu_0 \left(\frac{\epsilon_1^2 - \epsilon_2^2}{\epsilon_1} \right) H_z = 0 \quad (8)$$

yazılır. Bu eşitlikte $k^2 = \omega^2 \epsilon_0 \mu_0 [(\epsilon_1^2 - \epsilon_2^2)/\epsilon_1]$ olmak üzere, H_z 'nin Helmholtz denklemi sağladığı görüllür.

Toplam alan, her yerde ($y \leq 0$) gelen ve saçılan alan ifadelerinin toplamı şevidedir:

$$E^t(H^t) = E^i(H^i) + E(H) \quad (9)$$

Her iki yüzeyinde de aynı Z bağılı empedansı bulunan yarımdüzlemlerde Leontovich sınır koşulu yazılırsa,

$$\begin{aligned} \frac{\partial H_z^i(x, y)}{\partial y} - i \frac{\epsilon_2}{\epsilon_1} \frac{\partial H_z^i(x, y)}{\partial x} \\ = \pm i \frac{k^2}{\omega\mu_0} Z_0 Z H_z^i(x, y), \quad y = \mp 0 \end{aligned} \quad (10)$$

bulunur.

Değişkenlerine ayırma yöntemiyle saçılan alan ifadesi

$$u(x, y) = \begin{cases} \int_L^\infty A(\alpha) e^{-i\alpha x + \Gamma(\alpha)y} d\alpha, & y > 0 \\ \int_L^\infty B(\alpha) e^{-i\alpha x - \Gamma(\alpha)y} d\alpha, & y < 0 \end{cases} \quad (11)$$

yazılır. Burada $u(x, y)$, $H_z(x, y)$ 'yi göstermektedir. $\Gamma(\alpha) = \sqrt{k^2 - \alpha^2}$ fonksiyonu kesilmiş kompleks α -düzleminde tamamlı olup $\Gamma(\alpha) = +k$ ve $\alpha \rightarrow \pm\infty$ için $\Gamma(\alpha) = i|\alpha|$ 'dır.

L integrasyon çizgisi regülerlik bandında, $Im(-k) < Im(\alpha) < Im(k \cos \phi_0)$, reel eksene paralel bir düz çizgidir. $A(\alpha)$ ve $B(\alpha)$ fonksiyonları ilgili bölgelerdeki sınır ve süreklilik koşulları yardımıyla hesaplanırlar.

Süreklilik ve sınır koşullarına ters Fourier dönüşümü uygulanır ve $A(\alpha)$ ve $B(\alpha)$ elimine edilerek bulunan eşitlıkların toplam ve farkı sonucunda

$$\left[i\Gamma(\alpha) + i \frac{k^2}{\omega\mu_0} Z_0 Z \right] L_1(\alpha) + \left[-\frac{1}{i\Gamma(\alpha)} \frac{\epsilon_2}{\epsilon_1} \alpha \right] L_2(\alpha) \\ = \hat{U}_1(\alpha) + \hat{F}_1(\alpha), \quad (12)$$

$$\left[\frac{\epsilon_2}{\epsilon_1} \alpha \right] L_1(\alpha) + \left[1 + \frac{k^2}{\omega\mu_0 \Gamma(\alpha)} Z_0 Z \right] L_2(\alpha) \\ = \hat{U}_2(\alpha) + \hat{F}_2(\alpha). \quad (13)$$

yazılır. Burada

$$\hat{U}_1(\alpha) = U_1(\alpha) + U_2(\alpha) \quad (14)$$

$$\hat{U}_2(\alpha) = U_1(\alpha) - U_2(\alpha) \quad (15)$$

$$\hat{F}_1(\alpha) = F_1(\alpha) + F_2(\alpha) \quad (16)$$

$$\hat{F}_2(\alpha) = F_1(\alpha) - F_2(\alpha) \quad (17)$$

olarak tamamlanmıştır. $F_{1,2}(\alpha)$ ise kaynak fonksiyonlarının kalığı olup

$$F_1(\alpha) = \frac{\left[ik \sin \phi_0 + \frac{\epsilon_2}{\epsilon_1} k \cos \phi_0 - i \frac{k^2}{\omega\mu_0} Z_0 Z \right]}{2\pi(\alpha - k \cos \phi_0)} \quad (18)$$

ve

$$F_2(\alpha) = \frac{\left[ik \sin \phi_0 + \frac{\epsilon_2}{\epsilon_1} k \cos \phi_0 + i \frac{k^2}{\omega\mu_0} Z_0 Z \right]}{2\pi(\alpha - k \cos \phi_0)} \quad (19)$$

yazılır.

$L_{1,2}(\alpha)$ ve $U_{1,2}(\alpha)$ spektral fonksiyonları, sırayla, kesilmiş kompleks α -düzleminin alt yarısında ($Im\alpha < Im(k \cos \phi_0)$) ve üst yarısında ($Im\alpha > Im(-k)$) regüler olan fonksiyonlardır. (12-13)'de verilen denklem sistemi 'matris Wiener-Hopf sistemi'ni oluşturur ve matris formda

$$G(\alpha)L(\alpha) = \hat{U}(\alpha) + \hat{F}(\alpha) \quad (20)$$

şeklinde ifade edilir. Burada,

$$G(\alpha) = \begin{bmatrix} i\Gamma(\alpha) + i \frac{k^2}{\omega\mu_0} Z_0 Z & i \frac{\epsilon_2}{\epsilon_1} \frac{\alpha}{\Gamma(\alpha)} \\ -\frac{\epsilon_2}{\epsilon_1} \alpha & 1 + \frac{1}{\Gamma(\alpha)} \frac{k^2}{\omega\mu_0} Z_0 Z \end{bmatrix} \quad (21)$$

olup, $L(\alpha) = [L_1(\alpha), L_2(\alpha)]^T$, $\hat{U}(\alpha) = [\hat{U}_1(\alpha), \hat{U}_2(\alpha)]^T$ ve $\hat{F}(\alpha) = [\hat{F}_1(\alpha), \hat{F}_2(\alpha)]^T$ dir.

$G(\alpha)$ 'nın Daniele-Khrapkov [2] yöntemiyle faktorizasyonu matris Wiener-Hopf denkleminin formal çözümünü verir. $A(\alpha)$ ve $B(\alpha)$ katsayıları, matris Wiener-Hopf denkleminin çözümünden çikanan $U(\alpha)$ ve $L(\alpha)$ fonksiyonlarını kullanarak hesaplanabilir.

3.YÜKSEK-FREKANS DURUMUNDAKİ ÇÖZÜM

Çalışma frekansı ω , cyclotron frekansı ω_p 'ye göre çok büyük alırsa, $\varepsilon_1 = 1 - (\omega_p/\omega)^2$ ve $\varepsilon_2 \rightarrow 0$ olur. α 'nın, ω_p ile aynı mertebede olduğu varsayılmıştır. Bu yaklaşım, DC manyetik alan vektörünün sıfır alınmasıyla elde edilecek sonuçla aynıdır.

Böylece, aşağıdaki dekuple denklemler elde edilir :

$$i[\Gamma(\alpha)/(\eta h(\alpha))]L_1(\alpha) = \hat{U}_1(\alpha) + \hat{F}_1(\alpha), \quad (22)$$

$$[1/(\eta h(\alpha))]L_2(\alpha) = \hat{U}_2(\alpha) + \hat{F}_2(\alpha), \quad (23)$$

burada $\eta = 1/(\sqrt{\varepsilon_1} Z)$ ve $h(\alpha) = \Gamma(\alpha)/[k + \eta\Gamma(\alpha)]$ yazılmıştır. $h(\alpha)$ 'nın faktorizasyonu $h_U(\alpha)h_L(\alpha)$ olarak yapılırsa (22-23) eşitlikleri

$$\frac{i}{\eta} \frac{\Gamma_L(\alpha)}{h_L(\alpha)} L_1(\alpha) = \frac{h_U(\alpha)}{\Gamma_U(\alpha)} \hat{U}_1(\alpha) + \frac{h_U(\alpha)}{\Gamma_U(\alpha)} \hat{F}_1(\alpha) \quad (24)$$

$$\frac{1}{\eta} \frac{1}{h_L(\alpha)} L_2(\alpha) = h_U(\alpha) \hat{U}_2(\alpha) + h_U(\alpha) \hat{F}_2(\alpha) \quad (25)$$

şeklinde yazılırlar. Burada $h_U(\alpha)$ ve $h_L(\alpha)$, sırasıyla, R_U ve R_L bölgelerinde régüller olan fonksiyonlardır. Diğer taraftan

$$f_1(\alpha) = \frac{h_U(\alpha)}{\Gamma_U(\alpha)} \hat{F}_1(\alpha), \quad f_2(\alpha) = h_U(\alpha) \hat{F}_2(\alpha) \quad (26)$$

fonksiyonları f_{1UL} ve f_{2UL} fonksiyonlarının toplamı şeklinde faktöriz edilmelidir. Bu ise

$$f_{1U} = \frac{k \sin \phi_0}{\pi(\alpha - k \cos \phi_0)} \left[\frac{h_U(\alpha)}{\Gamma_U(\alpha)} - \frac{h_U(k \cos \phi_0)}{\Gamma_U(k \cos \phi_0)} \right] \quad (27)$$

$$f_{2U} = -\frac{k \sqrt{\varepsilon_1} Z}{\pi(\alpha - k \cos \phi_0)} [h_U(\alpha) - h_U(k \cos \phi_0)] \quad (28)$$

ve

$$f_{1L} = \frac{k \sin \phi_0}{\pi(\alpha - k \cos \phi_0)} \cdot \frac{h_U(k \cos \phi_0)}{\Gamma_U(k \cos \phi_0)}, \quad (29)$$

$$f_{2L} = -k \sqrt{\varepsilon_1} Z \frac{h_U(k \cos \phi_0)}{\pi(\alpha - k \cos \phi_0)}. \quad (30)$$

olur. Böylece (24-25) ve (26) eşitliklerinden

$$q_1(\alpha) = \begin{cases} \frac{i}{\eta} \frac{\Gamma_L(\alpha)}{h_L(\alpha)} L_1(\alpha) - f_{1L}(\alpha); \operatorname{Im}\alpha < \operatorname{Im}(k \cos \phi_0) \\ \frac{h_U(\alpha)}{\Gamma_U(\alpha)} \hat{U}_1(\alpha) + f_{1U}(\alpha); \operatorname{Im}\alpha > \operatorname{Im}(-k) \end{cases} \quad (31)$$

$$q_2(\alpha) = \begin{cases} \frac{1}{\eta} \frac{1}{h_L(\alpha)} L_2(\alpha) - f_{2L}(\alpha); \operatorname{Im}\alpha < \operatorname{Im}(k \cos \phi_0) \\ h_U(\alpha) \hat{U}_2(\alpha) + f_{2U}(\alpha); \operatorname{Im}\alpha > \operatorname{Im}(-k). \end{cases} \quad (32)$$

elde edilir. Burada, $q_1(\alpha)$ ve $q_2(\alpha)$ tam fonksiyonlardır. Bunlar, Liouville teoremi yardımıyla alan bileşenlerinin ayrıntıları davranışlarından hareketle spektral fonksiyonları $\alpha \rightarrow \infty$ için davranışlarından bulunur, bu problem için $q_1(\alpha)$ ve $q_2(\alpha)$ 'nın sıfır olduğu kolayca gösterilebilir. Böylece Wiener-Hopf denklemelerinin çözümü

$$L_1(\alpha) = -i\eta \frac{h_L(\alpha)}{\Gamma_L(\alpha)} f_{1L}(\alpha), \quad (33)$$

$$\hat{U}_1(\alpha) = -\frac{\Gamma_U(\alpha)}{h_U(\alpha)} f_{1U}(\alpha), \quad (34)$$

$$L_2(\alpha) = \eta h_L(\alpha) f_{2L}(\alpha), \quad (35)$$

$$\hat{U}_2(\alpha) = -\frac{1}{h_U(\alpha)} f_{2U}(\alpha), \quad (36)$$

olarak bulunur.

$A(\alpha)$ ve $B(\alpha)$ 'nın ifadeleri (11)'de yerine konursa, saçalan alamın integral ifadesi elde edilmiş olur ve yüksek frekans durumunda integrallerin asimptotik ifadeleri klasik semer-noktası yöntemiyle hesaplanır.

Kırmızı alan,

$$u^d(r, \phi) \sim u^d(0) D(\phi_0, \phi) \frac{e^{i\phi r}}{\sqrt{kr}}, \quad (37)$$

KGT (kırmızının geometrik teorisi) formuna uygun biçimde yazılark, difraksiyon katsayısi ise,

$$D(\phi_0, \phi) = \frac{e^{i\pi/4}}{\sqrt{2\pi}} \eta \frac{h_L(-k \cos \phi) h_U(k \cos \phi_0)}{(\cos \phi + \cos \phi_0)} \cdot \left[\sqrt{1 - \cos \phi} \sqrt{1 - \cos \phi_0} + \frac{1}{\eta} \right], \quad y \geq 0, \quad (38)$$

olarak bulunur. $h(\alpha)$ 'nın çarpan faktörleri Maluzhinezz fonksiyonu cinsinden ifade edilirler [3].

4.SONUÇLAR

Soğuk plazma içindeki empedans yarımdüzlemlerden kırımlı problemi için elde edilen saçılıan alan ifadeleri aşağıda yer almaktadır.

Monostatik durum için diffraksiyon katsayısunun gözleme açısından göre değişimini gösteren grafiklerde (Şekil-1) empedans olarak, (10.1), (10.5) ve (11.0) imajiner değerleri almıştır. Grafiklerde görüldüğü üzere, empedansın veya ϵ_1 'in değerleri arttıkça, diffraksiyon katsayısı zayıflamaktadır (Şekil-2). $\epsilon_1 = 1$ durumu ise, ortamın izotrop ve homojen olduğu durumuna karşılık düşer (Şekil-3).

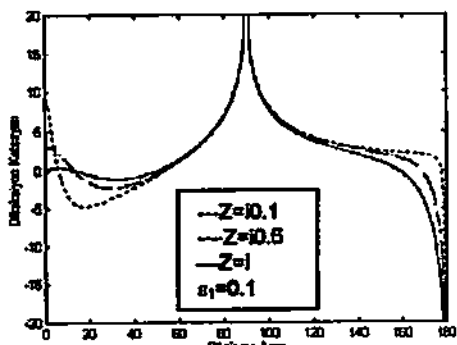
Soğuk plazma içindeki bir empedans yarımdüzlemlerden dalgaların kırımlı problemi ilk kez bu çalışmada ele alınmıştır. Bu nedenle burada elde edilen sonuçları diğer mevcut sonuçlarla doğrulamak mümkün değildir. Fakat, diffraksiyon katsayısı basit ortamındaki empedans yarımdüzleme indirgenebilir. $\epsilon_1 = 1$ yazılırsa $\eta = 1/Z$ olur ve

$$D(\phi_0, \phi) = \frac{e^{ix/4} \pm Z + \sqrt{1-\cos\phi}\sqrt{1-\cos\phi_0}}{Z\sqrt{2\pi} \cos\phi + \cos\phi_0}$$

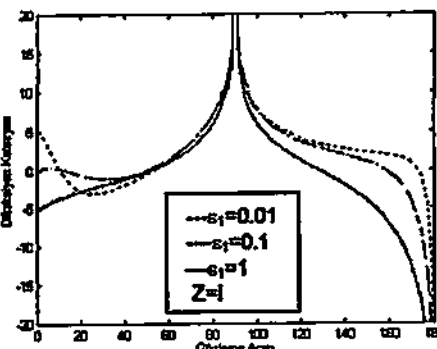
$$\cdot h_U(k \cos\phi_0) h_U(k \cos\phi), y \leq 0 \quad (39)$$

şeklinde yazılır. Bu ifade Büyükkaksoy ve Uzgören [4] tarafından verilen çözümle aynıdır. Problemin geometrisindeki farklılık dolayısıyla, (39)'da verilen ifadede $\phi \rightarrow \pi + \phi$ ve $\phi_0 \rightarrow \pi + \phi_0$ değişimini yapmak gerekmektedir.

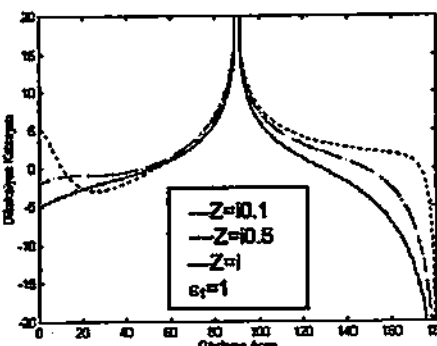
Burada problemin çözümü KGT formunda verilmiştir. Soğuk plazma iyonosfer için bir model oluşturduğundan, uçak, uydı gibi iyonosferdeki karmaşık yapıdaki saçılıcların diffraksiyon mekanizmasını incelemek mümkün olabilir.



Şekil-1. $10 \log_{10}[D(\phi, \phi)]$, $\epsilon_1=0.1$



Şekil-2. $10 \log_{10}[D(\phi, \phi)]$, $Z=1$



Şekil-3. $10 \log_{10}[D(\phi, \phi)]$, $\epsilon_1=1$

TEŞEKKÜR

Yazarlar TÜBİTAK'a (Türkiye Bilimsel ve Teknik Araştırma Kurumu) bu çalışmayı desteklediğinden ötürü teşekkür eder.

KAYNAKLAR

- [1] FELSEN, L. B., and MARCUVITZ, N., 1973, Radiation and Scattering of Waves, Prentice-Hall, New Jersey, 888.
- [2] DANIELE, V. 1984, On the Solution of Two Coupled Wiener-Hopf Equations, SIAM J. Appl. Math., 44 (4), 667-680.
- [3] VOLAKIS, J. L., and SENIOR, T. B. A., 1985, Simple Expressions for a Function Occuring in Diffraction Theory, IEEE Trans., AP-33, p. 678.
- [4] BÜYÜKAKSOY A., UZGÖREN, G., 1999, Kırımlı Problemleri, GYTE Yayınları, Gebze, 51-93.